

5. Герасимов А. П. Геологическое строение Минераловодского района (Северный Кавказ). Тр. ЦНИГРИ, 1935, вып. 30, с. 13.
6. Николаев Н. И. О возрасте рельефа Центрального Кавказа и Предкавказья. Тр. МГРИ, 1948, т. 23, с. 3.
7. Тузиков Р. П. О расчленении травертинов горы Машук (район Кавказских Минеральных Вод). Бюл. Комис. по изучению чет. пер., 1961, № 26, с. 141.
8. Сафронов И. Н. Опыт стратиграфической корреляции четвертичных отложений Центрального Предкавказья. Материалы по изучению Ставропольского края, 1956, вып. 8, с. 97.
9. Сафронов И. Н. Материалы к истории речной сети Северо-Западного Кавказа. Сб. трудов Ставропольского пед. ин-та, 1957, вып. 11, с. 31.
10. Сафронов И. Н. О поверхностях выравнивания Северного Кавказа. Тр. по геологии и полезн. ископ. Сев. Кавказа, 1959, вып. IX, с. 143.
11. Гарутт В. Е., Сафронов И. Н. Находка скелета южного слона *Archidiskodon meridionalis* (Nesti) близ г. Георгиевска (Северный Кавказ). Бюл. Комис. по изучению четв. пер., 1965, № 30, с. 79.
12. Дотдугев С. И. Неотектоническая стадия развития северного склона Центрального Кавказа. Автореф. канд. дис. Тбилиси, Мецниереба, 1975, с. 48.
13. Кожевников А. В. К стратиграфии антропогена Поволжья и Понто-Каспия. Проблемы периодизации плейстоцена. Материалы симпозиума. Л.: Изд. геогр. об-ва Союза ССР, 1971, с. 285.
14. Федоров П. В. Стратиграфия четвертичных отложений и история развития Каспийского моря. М.: Изд-во АН СССР, 1957, 298 с.
15. Геология СССР, т. IX. Северный Кавказ. М.: Недра, 1968, 759 с.
16. Федоров П. В. Подразделение хазарских отложений и их положение в шкале Каспийского плейстоцена. Бюл. МОИП, 1972, т. 77. Отд. геол., т. 47, вып. 2, с. 81.
17. Лебедева Н. А. Корреляция антропогенных толщ Понто-Каспия. М.: Наука, 1978, с. 136.
18. Милановский Е. Е., Короновский Н. В. Нижнечегемский вулканический район (Северный Кавказ). Вестн. Моск. ун-та, 1969, № 4, с. 15.
19. Левский Л. К. Аргон-кальневое датирование плиоцен-плейстоценовых пород южной Грузии и Северного Кавказа. В кн.: Периодизация и геохронология плейстоцена. Материалы к симпозиуму. Л.: Изд. Геогр. о-ва СССР, с. 132.
20. Геохронология СССР, т. III. Новейший этап (Поздний плиоцен-четвертичный период). Л.: Недра, 1974, с. 360.

Геологический институт АН СССР

Поступила в редакцию  
24.XII.1979

## ON THE AGE OF RIVER TERRACES OF THE CENTRAL PART OF THE CAUCASIAN FORELAND

LUKINA N. V.

### Summary

A new chronological classification is introduced for fluvial terraces of the Kuma and Podkumok rivers based on the terraces' mapping, on their correlation with transgressive levels of fluvio-marine plains of the Caspian region and dated planation surfaces within the mountain area, and on the analysis of geomorphic position of fossil mammals in the Mashuk's travertines. The author distinguishes the Holocene low and high floodplain levels, 4 terraces of Late Pleistocene age, 2 terraces of Middle Pleistocene age and 2 of Early Pleistocene age as well as Apsheronian and Akchagylian topographic levels.

УДК 551.4 : 551.24

МАРОВА Н. А.

## НОВЫЕ ДАННЫЕ О МОРФОЛОГИИ БАЙКАЛЬСКОЙ РИФТОВОЙ ВПАДИНЫ

Впадина оз. Байкал является одним из звеньев внутриконтинентальной рифтовой зоны, состоящей из системы расположенных кулисообразно хребтов и впадин северо-восточного простирания в пределах Саяно-

Байкальского сводового поднятия. В тектоническом плане эта зона является границей между Амурской и Евразийской литосферными плитами.

Подводный рельеф оз. Байкал давно привлекал внимание исследователей [1, 2]. С 1925 г. начались планомерные исследования, продолжающиеся и в наше время, в результате которых опубликованы карты подводного рельефа и ряд обобщающих работ по геоморфологии Байкала [3—9]. В 1977 г. Институтом океанологии им. П. П. Ширшова АН СССР совместно с Лимнологическим институтом СО АН СССР была проведена комплексная геолого-геофизическая экспедиция для исследования Байкальской рифтовой впадины. Работы выполнялись по методике, принятой в Институте океанологии для изучения океанических рифтовых зон. Кроме того, впервые были проведены наблюдения и сбор образцов с обитаемых подводных аппаратов «Пайсис VII» и «Пайсис XI» [10, 11].

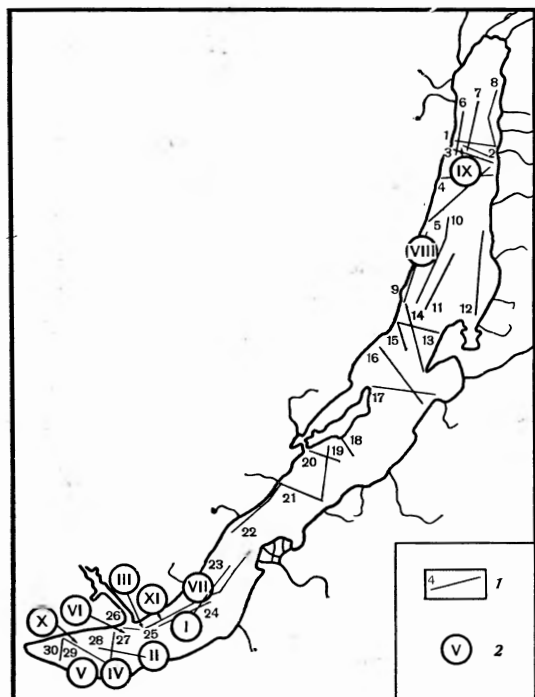


Рис. 1. Схема положения наиболее характерных профилей дна и станций подводного фотографирования, выполненных в экспедиции 1977 г.

1 — профиль дна; 2 — станции подводного фотографирования

Съемка рельефа дна выполнялась с борта НИС «Г. Ю. Верещагин» эхолотом НЭЛ-5 с регистрацией глубин на прецизионном самописце ФАК-II (с точностью отсчета до 1 м). Такие детальные записи рельефа дна для Байкала получены впервые; они особенно важны для фиксирования следов мелкомасштабных вертикальных смещений, сопровождающих общее растяжение грабена, выраженных в подводном рельефе. Галсы съемки охватили всю акваторию впадины, что позволило использовать полученную систему профилей в качестве эталонной при интерпретации всех прежних материалов. Общая протяженность эхолотных записей дна составила около 5500 км, половина из которых приходится на детальное исследование района восточного склона от истока Ангары до Больших Котов [12]. Кроме того, во время экспедиции были получены впервые для Байкала подводные фотографии дна вдоль 11 разрезов [13] протяженно-

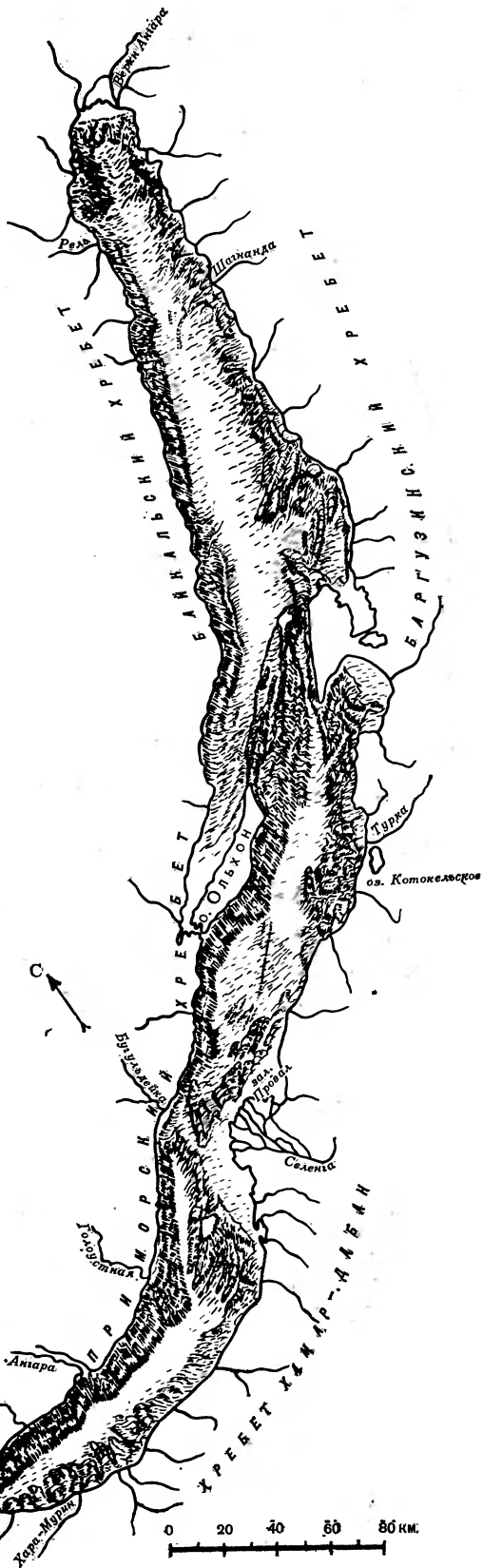


Рис. 2. Физиографическая схема подводного рельефа Байкальской впадины

Составила Н. А. Марова по материалам комплексной геолого-геофизической экспедиции с использованием батиметрической схемы Байкала

стью от 300 до 1000 м (рис. 1). В предлагаемой статье и при составлении карты (рис. 2) использованы материалы экспедиции 1977 г., литературные данные, а также некоторые материалы по рельефу дна, любезно предоставленные дирекцией Лимнологического института СО АН СССР.

Байкальская впадина похожа в плане на вытянутую дугу длиной в 640 км, несколько расширенную в центральной части (средняя ширина 35 км) с заметным сходством очертаний противоположных берегов. Поперечный разрез через впадину Байкала почти повсеместно имеет форму узкого глубокого грабена с крутыми асимметричными склонами и плоским дном. Продольный профиль дна впадины, проведенный по осевой линии максимальных глубин, представляет ступенчатую кривую, поскольку дно Байкала расположено на различных батиметрических уровнях. Максимальная относительная глубина впадины 1622 м (считая от уреза воды), а максимальная абсолютная глубина 1168 м, так как уровень воды в Байкале приподнят на 454 м относительно уровня океана.

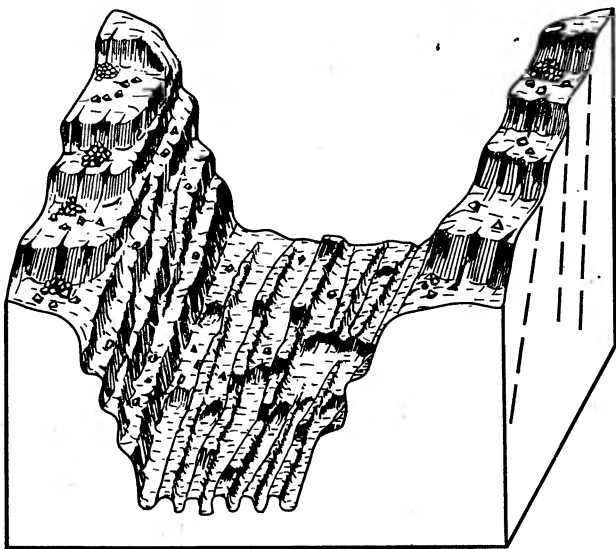


Рис. 3. Блок-диаграмма участка западного склона, составленная по результатам визуальных наблюдений с подводного аппарата «Пайсис» В. А. Абрамовым, В. В. Матвеенковым и Е. Г. Мирлиным

Учитывая мощность отложений [14], полная амплитуда вертикального смещения от гребня хребтов, окружающих Байкал, до кристаллического ложа впадины достигает 8000 м.

Системой подводных и надводных поднятий впадина Байкала разделена на три изолированные котловины (рис. 2). Южная и Центральная котловины разделены субмеридиональным порогом (протягивающимся между устьем р. Бугульдейки и дельтой р. Селенги), называемым Бугульдейской перемычкой. Центральная и Северная котловины расположены кулисообразно и разделены линейным поднятием, включающим о. Ольхон, подводный Академический хребет и Ушканьи острова.

Западный борт впадины повсеместно очень крутой, его средний наклон составляет около 30—35°, иногда углы наклона достигают 65°, а местами встречаются отвесные обрывы. Ширина склона обычно не превышает 3—5 км. В целом он представлен единой наклонной поверхностью, и лишь отдельные выступы склона повторяют очертания береговых изгибов. Однако детальной эхометрической съемкой участка западного склона и визуальными наблюдениями с подводных обитаемых аппаратов установлено интенсивное мелкое расчленение: ступенчатый характер про-

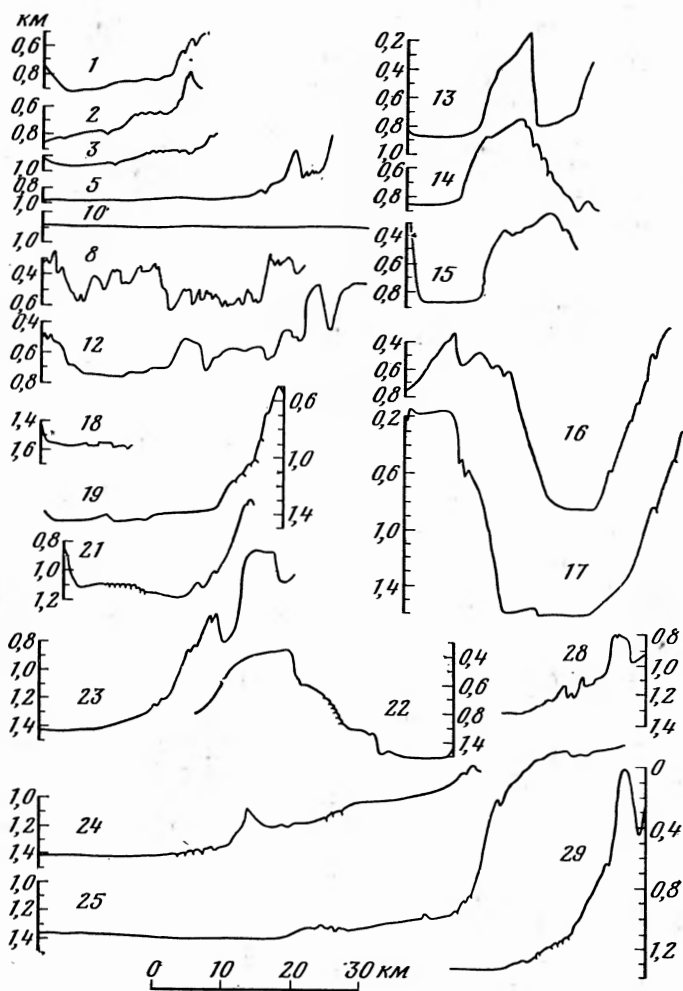


Рис. 4. Профили дна Байкальской впадины. Положение профилей показано на рис. 1

дольного профиля и обилие мелких каньонов и ложбин. Здесь средние углы склона меняются от 20 до 40°, крутые, зачастую отвесные уступы чередуются с наклонными ступенями. Ступени имеют ширину 20—40 м, наклон 10—20° и четко выраженную бровку. Осадки на склоне практически отсутствуют и задерживаются лишь иногда на ступенях. Уступы склона расчленены ложбинами и каньонами, врезанными на несколько десятков метров, с очень крутыми бортами (до 70—80°). В свою очередь стенки каньонов имеют многочисленные ступени, а днища каньонов состоят из ряда желобов, разделенных продольными гребнями (рис. 3). Поперечные размеры этих форм не превышают нескольких метров. Продольный профиль каньонов и ложбин, так же как и смежных участков склона, имеет ступенчатый характер. По-видимому, аналогичное расчленение характерно для всего западного склона Байкальской впадины. Каньоны и ступени, очевидно, имеют тектоническое происхождение и связаны с трещинами и обвалами, приуроченными к системе Обручевского сброса. На склонах практически отсутствуют следы эрозии, которая, возможно, проявляется лишь сезонно, в период талых вод, выносящих обломочный материал, эродирующий борта каньонов. Следует отметить, что у истока Ангары склон несколько шире обычного. С руслом реки свя-

зан крупный разветвляющийся каньон. Борты каньона расположены на разных уровнях — северо-восточный борт существенно выше. Глубина вреза каньона более 200 м. Ширина его на глубине 1000 м равна 3 км, т. е. превышает ширину русла Ангары.

В некоторых местах у подножия западного склона имеется небольшой прогиб ложа глубиной в несколько десятков метров и шириной до 1 км. В частности, такой прогиб записан на профиле у мыса Листвяничного и в южной части Центральной котловины (рис. 4, проф. 22). Н. А. Флоренсов и В. И. Галкин полагают, что это сбросовые рвы, где происходит всасывание осадочного материала в сбросовую трещину при землетрясениях [15]. В отдельных районах у подножия западного склона отмечается мелкохолмистый сильно расчлененный рельеф с перепадами глубин в несколько десятков метров. По-видимому, он может быть интерпретирован как скопления крупнообломочного оползневоего материала. Таким образом, западный склон Байкала в целом представляет собой крутой тектонический уступ, являющийся подводным продолжением Обручевского сброса. Он резко переходит к ложу (рис. 4, проф. 4, 15, 17) и лишь местами имеет небольшой осадочный шлейф.

Восточный склон Байкальской впадины значительно шире западного и достигает местами 25—30 км. В среднем его наклон составляет 7—10°. Исключения составляют довольно прямолинейные узкие участки склона от Танхой до Бабушкина в южной котловине, очень узкий и крутой склон вдоль п-ова Святой Нос и к югу от него, аналогичный крутым уступам западного борта впадины (рис. 4, проф. 16, 17), а также район склона к северу от мыса Толстого в Центральной котловине.

Восточный склон Байкальской впадины характеризуется сложной неоднородной структурой. Его поперечный профиль в большинстве случаев имеет ступенчатую форму, образованную чередованием крутых уступов, высотой в несколько сотен метров, с террасовидными ступенями, шириной в несколько километров, местами очень пологими, наклоненными к осевой впадины. Многочисленными подводными долинами и каньонами с глубиной вреза 100—300 м он расчленен на ряд выступов, имеющих форму гребней, хребтиков, пологих возвышенностей, создающих сложную топографию склона (рис. 4, проф. 8, 12).

Восточный склон впадины почти повсеместно имеет плавный переход к ложу (рис. 4, проф. 17, 27, 29). У подножия склона в некоторых местах, например в районе Бугульдейской перемычки, особенно Кукуйской гряды, располагается слегка выпуклый аккумулятивный шлейф (рис. 4, проф. 21), расчлененный густой сетью долин. Возможно, что обильно поступающие осадки из района дельты Селенги создают мутьевые потоки, следствием которых и являются наблюдаемые мелкие долины у подножия склонов. Местами подножие разбито трещинами на отдельные мелкие блоки, в ряде мест можно наблюдать у подножия формы, по-видимому, оползневоего происхождения (рис. 4, проф. 2, 21, 27, 28, 29). Для восточного склона характерны крупные погружения береговых структур (например, заливы Провал и Посольский Сор), возникшие в результате катастрофического землетрясения. Наблюдается закономерная приуроченность наименее расчлененных участков подводного склона к наземным котловинам, а наиболее крутых участков склона — к береговым хребтам и их отрогам.

Как мы видим, восточный склон Байкальской впадины имеет очень сложное строение: это сильно раздробленный как вдоль, так и поперек пологий уступ, плавно спускающийся к ложу с преобладанием северо-восточных простираний наложенных структур. По-видимому, он является подводным продолжением опускающегося западного края Амурской плиты.

Ложе Байкальской впадины повсеместно занято аккумулятивной равниной, имеющей, как правило, небольшой наклон к западу. Исключение

составляет ложе Южной котловины, слегка запрокинутое к центральной части (рис. 4, проф. 4, 5, 21, 25). Периферийные части ложа всех трех котловин Байкала представлены волнистыми равнинами, возможно, отражающими первичные неровности фундамента (рис. 4, проф. 1, 3, 7), а центральные части котловин в виде вытянутых овалов заняты плоскими субгоризонтальными равнинами, полностью перекрытыми осадками (рис. 4, проф. 10, 13, 15, 25). По данным непрерывного сейсмического профилирования мощность рыхлых осадков на дне котловин достигает 2 км [11]. Ширина плоских равнин дна составляет в среднем 15—20 км.

В пределах ложа Северной котловины, на траверсе Горячинской губы обнаружены эрозионные каналы глубиной 10—20 м и шириной до 100 м (рис. 4, проф. 2, 3). Борта их слегка приподняты, образуя как бы прирусловые валы. Один из них прослеживается в субмеридиональном направлении на двух профилях. Долины эти напоминают русла суспензионных потоков на дне океанов [16].

На ложе Центральной котловины, к югу от о. Ольхон, на фоне плоской равнины отмечено дробление дна на отдельные чередующиеся приподнятые и опущенные блоки размером в поперечнике до 1,2 км и перепадом высот до 20 м (рис. 4, проф. 18). Несколько южнее, в направлении от мыса Ухан на центральную часть Бугульдейской перемычки, примерно по оси ложа Центральной котловины, на нескольких профилях прослежена ступень, внешний край которой вздернут. Величина уступа, образующего ступень, составляет от 16 до 30 м (рис. 4, проф. 19). Прежде на батиметрической карте эта форма рельефа трактовалась как долина [8].

По-видимому, часть ложа Байкальской впадины, примыкающая к о. Ольхон, наиболее тектонически активна. Именно здесь наибольший прогиб дна сопряжен с наиболее крутыми уступами склона, и здесь же в рельефе дна наблюдаются признаки современных вертикальных движений, не замаскированные осадками, несмотря на их значительное поступление в этот район впадины.

Самой крупной положительной морфоструктурой Байкальской впадины является Академический хребет. По простиранию он продолжает наземные хребты Приольхонского плато и о. Ольхон. На северо-востоке к нему примыкает развернутый субширотный блок Ушканьих островов. Академический хребет является порогом между Северной и Центральной котловинами. Его вершинная поверхность поднимается на 1300 м над прилегающим дном Центральной котловины и лишь на 600 м над дном Северной котловины. Таким образом, он продолжает огромный взбросовый уступ, ограничивающий о. Ольхон, где наблюдается максимальная для Байкала амплитуда высот — 2900 м (гора Жима — 1276 м и глубина дна 1622 м). По другую же сторону о. Ольхон, в Малом море, глубина едва превышает 200 м. Академический хребет представляет собой единый крупный массив с очень крутыми асимметричными склонами и широкой вершиной (рис. 4, проф. 13—17). Вблизи о. Ольхон волнистая вершинная поверхность имеет ширину 3—5 миль, в центральной части хребта расширяется более чем до 10 миль и резко суживается вблизи Ушканьих островов. Она несет два основных кулисообразно расположенных гребня, разделенных депрессией с максимальной глубиной 570 м. Склоны Академического хребта крутые, местами до 30—35°. Более пологий северный склон в восточной части хребта переходит в крутой уступ в центральной части. На южном склоне хребта можно видеть ряд ступеней, расположенных на глубинах от 400 до 700 м.

Второй по размерам положительной морфоструктурой дна Байкальской впадины является субмеридиональная Бугульдейская перемычка. На юге она примыкает к мощному выступу дельты Селенги, а с запада к ней примыкает крупный уступ склона, несущий Посольскую банку (рис. 4, проф. 25). В трактовке структурного положения Посольской бан-

ки нет единого мнения. По данным С. М. Замараева и В. В. Самсонова [17], Бугульдейская перемычка является структурным продолжением Истокского поднятия. По мнению Б. Ф. Лута [4], такой связи нет, а, напротив, Кукуйская грива, примыкающая к восточной части дельты Селенги, и Посольская банка являются структурой, не имеющей связи с Истокским поднятием. Н. А. Логачев, В. И. Галкин и Г. С. Голдырев [8] считают, что Бугульдейская перемычка является структурным продолжением Приольхонской глыбы, включающим и Посольскую банку.

По морфологии Бугульдейская перемычка представляет асимметричный хребет с широкой (до 5—6 км) выровненной вершиной, наклоненной в сторону Южной котловины (рис. 4, проф. 22). Минимальная глубина вершинной поверхности вблизи западного берега, равная 295 м, получена в экспедиции 1977 г. Восточный склон перемычки в верхней части представлен очень крутым, почти отвесным уступом высотой около 200 м, являющимся, по-видимому, продолжением Приольхонского сброса. Ниже уступа на глубинах более 600 и более 900 м расположены две террасы. Вдоль склона протягиваются два гребня, выклинивающиеся у подножия западного склона впадины. В средней части склонов зарегистрирована серия сбросов, а у подножия восточного склона перемычки вблизи подножия западного склона впадины отмечен узкий, глубиной до 30 м прогиб (рис. 4, проф. 22), о котором упоминалось выше.

Западный склон перемычки, относительно пологий в северной половине, в южном направлении становится более крутым (рис. 4, проф. 24, 25). Хребет Посольской банки имеет широкую плоскую вершину (рис. 4, проф. 23). Склоны его образуют несколько отрогов. Основной хребет спускается островершинным узким гребнем к ложу Южной котловины.

Рельеф Байкальской впадины, таким образом, является типичным для внутриконтинентальных рифтовых структур. В поперечном сечении Байкальская впадина является узким асимметричным грабеном с крутым западным и пологим восточным склонами. Асимметрия подчеркнута не только различной крутизной склонов, но и смещением зоны максимальных глубин на большей части площади ложа к западному борту. Она обнаруживается также в строении хребта Академического, разделяющего Северную и Центральную котловины. Очевидно, в рельефе впадины отражаются условия образования Байкальского рифта. Крутой западный склон, по-видимому, следует вдоль главного сброса, возможно, отвечающего тому первичному разлому, вдоль которого произошло раскалывание и последующее растяжение земной коры. Образование пологого восточного склона можно трактовать как следствие наклона блока коры на опущенном крыле главного сброса. Величина наклона составляет, судя по углам падения склона, в среднем 7—10°.

Значительное расчленение восточного склона, появление в его пределах «провальных» структур, возникших при землетрясениях (типа залывов Провал и Посольский Сор в районе дельты Селенги), указывают на то, что наклон и опускание склона сопровождалось его дроблением на блоки.

Судя по морфологии котловин Байкальской впадины, их относительно небольшой ширине и линейной протяженности, сама зона растяжения, отвечающая границе Евразийской и Амурской плит [18], является также очень узкой. Она не может превосходить по размерам ширину Байкальской впадины, т. е. 30—40 км, а скорее всего еще меньше, поскольку активная зона, видимо, приурочена к подножию крутого западного борта и имеет ширину всего несколько километров. Центральная и Южная котловины по морфологии существенно отличаются от Северной. Они почти в 2 раза глубже. В них хорошо видны, даже на поверхности осадочного чехла, следы молодых сбросов, наиболее отчетлива асимметрия поперечного профиля. Современная сейсмичность Байкала также сконцентрирована в основном в Центральной и Южной котловинах, тогда как

Северная котловина обладает значительно меньшей сейсмичностью [18]. По-видимому, в настоящее время тектонически активными являются Центральная и Южная котловины, тогда как Северная котловина переживает период относительного покоя. В этом плане крутой юго-восточный уступ Академического хребта отмечает положение главного сброса, которым обусловлено современное растяжение Байкальской впадины.

Таким образом, современный подводный рельеф Байкала, несмотря на то что в пределах ложа впадины развита мощная осадочная толща, достаточно четко отражает характер деформаций, приведших к образованию Байкальского рифта.

#### ЛИТЕРАТУРА

1. Дыбовский Б., Годлевский В. Физико-географические исследования на Байкале в 1869—1876 гг.—Тр. Вост.-Сиб. отд. РГО, 1897, № 1, с. 62.
2. Дриженко Ф. К. Гидрографическое исследование Байкала.—Изв. РГО, 1902, т. 38, вып. 2, с. 44.
3. Верецагин Г. Ю. Байкал. Иркутск: ОГИЗ, 1947, 168 с.
4. Лут Б. Ф. Геоморфология дна Байкала.—В кн.: Геоморфология дна Байкала и его берегов. М.: Наука, 1964, с. 5.
5. Лут Б. Ф. Байкал и глубоководный промер.—В кн.: Природа Байкала. Л.: Наука, 1974, с. 111.
6. Лут Б. Ф. Геоморфология Прибайкалья и впадины озера Байкал. Новосибирск: Наука, 1978, 212 с.
7. Лут Б. Ф. Общая характеристика рельефа подводной части.—В кн.: Проблемы Байкала. Новосибирск: Наука, 1978, с. 22.
8. Логачев Н. А., Галкин В. И., Голдырев Г. С. Впадины Байкальской системы.—В кн.: Нагорья Прибайкалья и Забайкалья. М.: Наука, 1974, с. 21.
9. Atlas Байкала. Иркутск—М.: ГУГК, 1969, с. 30.
10. Мирлин Е. Г., Мониц А. С., Подражанский А. М., Сагалевич А. М. Строение западного склона Байкала по наблюдениям из подводных аппаратов.—Докл. АН СССР, 1978, т. 239, № 5, с. 1178.
11. Мирлин Е. Г., Марова Н. А., Мерклин Л. Р., Савостин Л. А., Шрейдер А. А., Галкин В. И. Новые данные о тектонике Южной котловины Байкала.—Докл. АН СССР, 1978, т. 243, № 4, с. 1006.
12. Марова Н. А. Особенности строения подводного рельефа Байкальской рифтовой впадины.—В кн.: Геолого-геофизические и подводные исследования оз. Байкал. М.: ИОАН, 1979, с. 93.
13. Марова Н. А., Фоминых П. Н. Некоторые черты морфоструктуры подводных склонов оз. Байкал.—В кн.: Геолого-геофизические и подводные исследования оз. Байкал. М.: ИОАН, 1979, с. 142.
14. Зорин Ю. А., Новоселова М. Р. Поверхностная геологическая структура.—В кн.: Очерки по глубинному строению Байкальского рифта. Новосибирск: Наука, 1977, с. 82.
15. Флоренсов Н. А., Галкин В. И. Живые сбросы на западном побережье Байкала.—Изв. Вост.-Сиб. отд. РГО, 1966, т. 65, с. 73.
16. Heezen B. C., Laughton A. S. Abyssal plains.—In: The sea. N. Y., 1963, v. 3, p. 312.
17. Замараев С. М., Самсонов В. В. Геологическое строение и нефтегазоносность Селенгинской депрессии.—В кн.: Геология и нефтегазоносность Восточной Сибири. М.: Гостоптехиздат, 1959, с. 435.
18. Зоненшайн Л. П., Савостин Л. А., Мишарина Л. А., Солоненко Н. В. Тектоника плит Байкальской горной области и Станового хребта.—Докл. АН СССР, 1978, т. 240, № 3, с. 669.

Институт океанологии АН СССР

Поступила в редакцию  
27.XII.1979

## NEW DATA ON THE BAIKALIAN RIFT MORPHOLOGY

MAROVA N. A.

### Summary

Subaqueous topography of the Baikal depression presents typical features of intra-continental rift structure. The conditions of the Baikalian rift formation are reflected in differences in structure, width and angle of the rift's opposite slopes; in faults traces at the rift depression floor; in linear troughs along the western footslope and other features of morphology.